

буждение колебаний с частотой $\Omega^* = 0,20$ при данных характеристиках зоны горения невозможно.

Заметим, что возможность возникновения волновой неакустической неустойчивости в двигателе, естественно, не могла быть предсказана ранее на основе анализа системы уравнений, описывающей поведение осредненных по объему параметров [5]. Механизм рассмотренных здесь автоколебаний определяется генерированием энтропийных (температурных) волн пламенем. Возбуждение низкочастотной неустойчивости при горении пороха в двигателе с торцевым зарядом неоднократно обнаруживалось экспериментально [7, 8].

Поступила в редакцию
19/I 1972

ЛИТЕРАТУРА

1. Я. Б. Зельдович. ЖЭТФ, 1942, 11—12.
2. Б. В. Новожилов. ПМТФ, 1967, 1.
3. Ю. А. Гостинцев, Л. А. Суханов, П. Ф. Похил. ПМТФ, 1971, 5.
4. Ю. А. Гостинцев, Л. А. Суханов, П. Ф. Похил. Докл. АН СССР, 1970, 195, 1.
5. Ю. А. Гостинцев, Л. А. Суханов, П. Ф. Похил. ПМТФ, 1971, 6.
6. С. С. Новиков, Ю. С. Рязанцев. ПМТФ, 1966, 2.
7. H. Krier, M. Summerfield. o. AIAAJ, 1969, 7, 11.
8. J. Tien, W. Sigrignano, M. Summerfield a. d. AIAAJ, 1970, 8, 1.
9. Ю. А. Гостинцев, Л. А. Суханов, П. Ф. Похил. Докл. АН СССР, 1971, 200, 4.
10. Л. Крокко. Теория неустойчивости горения в жидкостных ракетах двигателей М., ИЛ, 1958.

О НИЗКОТЕМПЕРАТУРНОМ ОКИСЛЕНИИ СМЕСЕЙ ВОДОРОД — ВОЗДУХ, МЕТАНОЛ — ВОЗДУХ

B. A. Бунев

(Новосибирск)

Согласно теории теплового взрыва [1] в смеси, находящейся в реакторе с температурой стенок T_0 , достигается стационарная температура T_1 , определяемая равенством теплоотдачи на стенку и тепловыделением за счет экзотермических реакций. Результаты работ [2, 3] указывают на то, что выгорание смеси при T_1 происходит с постоянной скоростью. Поэтому, если пренебречь изменением состава при разогревании смеси от T_0 до T_1 , то скорость стационарной реакции можно рассчитать, зная начальный состав и конечный, соответствующий определенному времени реакции. Если время реакции равно промежутку времени, через который воздушная смесь топлива становится взрывобезопасной, то конечный состав (концентрация топлива и кислорода) соответствует границе распространения пламени [3]. Следовательно, для оценки параметров ($E_{\text{эфф}}$, W), характеризующих скорость низкотемпературной реакции окисления водорода и метанола воздухом, достаточно определить границу этой области (время реакции известно из [3]).

Целью настоящей работы было нахождение областей распространения пламени для смесей $H_2 - O_2 - N_2$ и $CH_3OH - O_2 - N_2$ при различных температурах и получение указанных выше параметров, при расчете которых используются результаты [3].

Результаты опытов и обсуждение

Все опыты проводились в условиях, аналогичных описанным в работе [3]. Из возможных пределов, соответствующих данной температуре стенок реактора, выбирался максимальный. В этом отношении полученные результаты отличаются от данных работы [4], в которой не учитывалось влияние предварительного окисления на пределы.

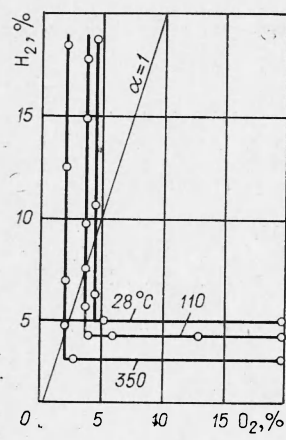


Рис. 1. Области распространения пламени для смесей $H_2 - O_2 - N_2$ при различных температурах.

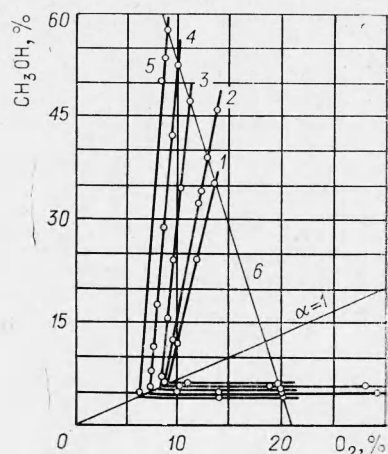


Рис. 2. Области распространения пламени для смесей $CH_3OH - O_2 - N_2$.
1 — $T = 80^\circ C$; 2 — $T = 135^\circ C$; 3 — $T = 205^\circ C$; 4 — $T = 277^\circ C$; 5 — $T = 375^\circ C$,
6 — составы, соответствующие смесям метанол — воздух.

На рис. 1, 2 приведены полученные при различных температурах области распространения пламени для смесей $H_2 - O_2 - N_2$ и $CH_3OH - O_2 - N_2$. Интересно отметить, что эти области ограничены прямыми линиями, пересекающимися в случае метанольных смесей в точке стехиометрическим составом. Для водородных смесей точки пересечения находятся в области бедных смесей, что связано, пожалуй, с возможностью «некогерентного» распространения пламени [5].

Необходимо отметить, что для богатых смесей при значительном изменении концентрации водорода предельное содержание кислорода меняется мало (на 10% H_2 — 0,13% O_2).

Данные настоящей работы и результаты [3] позволяют получить косвенные оценки параметров, характеризующих скорость низкотемпературного окисления. На рис. 3 представлена схематично область распространения пламени в координатах топливо — кислород. Линия 1—2 соответствует воздушным смесям, $\alpha = 1$ — стехиометрическому составу. Согласно работе [3], смесь с начальным составом, соответствующим точке 2, через определенный промежуток времени пересечет границу области распространения пламени и станет взрывобезопасной. Таким обра-

зом, в координатах топливо — окислитель можно из точки 2 провести линию, описывающую состав смеси в произвольные моменты времени. Изменение состава характеризуется скоростью движения точки по этой линии. Если точка 3 на границе области распространения пламени соответствует конечному составу, то времена перехода $2 \rightarrow 3$ можно взять из работы [3].

Для смесей водород — кислород — азот содержание кислорода в точках 1 и 3 практически одинаково, поэтому конечное значение (O_2) известно. Скорость реакции определим следующим образом:

$$W = -\frac{d(O_2)}{dt} = -\frac{\Delta(O_2)}{\Delta t}.$$

Полученные при этом предположении значения W приведены ниже:

Температура, °К	763	721	690	643	593	548	523
W , %/сек	0,82	0,45	0,37	0,277	0,185	0,069	0,025

Зависимость скорости W от T можно представить в координатах $\ln W$, $1/T$ (рис. 4). Как следует из этого рисунка, эффективная энергия активации в скорости убыли кислорода, существенно зависит от T_0 . В области низких температур и вблизи $T_0 \sim 500^\circ\text{C}$ $E_{\text{эфф}}$ имеет большое значение. Существует также участок (100°C), на котором энергия активации остается практически постоянной, а скорость убыли кислорода описывается зависимостью

$$W = 0,176 \cdot 10^{19} \exp\left(-\frac{6000}{RT}\right) \text{ молекул}/\text{см}^3\text{сек.}$$

Низкое значение энергии активации и характер изменения $\ln W$ от $1/T$ указывают на то, что в смеси водород — воздух идет разветвленная цепная реакция [1].

Согласно работе [6] скорость убыли кислорода можно записать в следующем виде:

$$-\frac{dO_2}{dt} = W_0 + k_2(H)(O_2) + k_6(H)(O_2)M,$$

причем в области между вторым и третьим пределами обрыв цепей происходит с большей скоростью, чем реакция разветвления

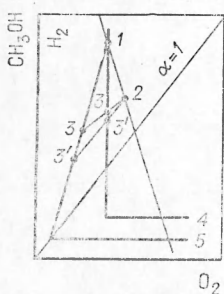
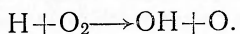


Рис. 3. Схема расчета величины $\ln W$.

1 — предел для воздушных смесей H_2 или CH_3OH ; $2 \rightarrow 3$, $2 \rightarrow 3'$ — изменение состава смеси во времени; 4 — область распространения пламени для смесей $H_2 — O_2 — N_2$; 5 — область распространения пламени для смесей $CH_3OH — O_2 — N_2$.

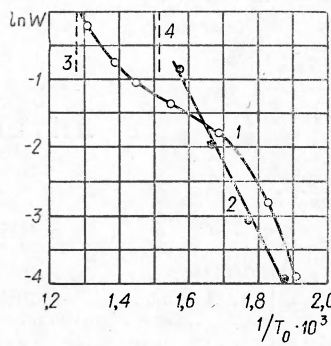


Рис. 4. Зависимость расчетного значения $\ln W$ от обратной температуры.

1 — смеси H_2 — воздух; 2 — смеси CH_3OH — воздух; 3 — граница самовоспламенения для водородных смесей; 4 — граница самовоспламенения для метапольных смесей.

Поэтому имеем

$$-\frac{dO_2}{dt} \approx k_6(H)(O_2)M,$$

Отсюда получим

$$(H)_0 \approx \frac{-\frac{dO_2}{dt}}{k_6(O_2)_0 M}, \quad (1)$$

где $(O_2)_0$, $(H)_0$ — начальные концентрации.

Формула (1) позволяет получить оценку концентрации атомов водорода в смеси H_2 — воздух. Для $T_0 = 600^\circ K$ и $T_0 = 690^\circ K$ [$(O_2)_0 = 4,0\%$] имеем соответственно $(H)_0 \approx 0,8 \cdot 10^{12} \text{ атомов}/\text{см}^3$, $(H)_0 \approx 1,5 \cdot 10^{12} \text{ атомов}/\text{см}^3$. Таким образом, для данных температур концентрация атомарного водорода при наличии реакции на 7—10 порядков выше равновесной термодинамической. Интересно отметить, что в работе [1] приведены расчетные значения (H) для смеси $2H_2 + O_2$; при $p = 772 \text{ мм рт. ст.}$ и $T_0 \approx 800^\circ K$ $(H) = 1,55 \cdot 10^{12} \text{ атомов}/\text{см}^3$.

Согласно формуле (1) произведение $(H)(O_2)$ должно оставаться постоянным, что справедливо для степеней превращения (по кислороду) 50—70%, соответствующих данной работе.

В случае метанол-воздушных смесей неизвестно, каким путем точка 2 (см. рис. 3) переходит в точку 3. Если реакция идет до конечных продуктов CO_2 и H_2O , то переход происходит по линии, параллельной линии стехиометрического состава ($2 \rightarrow 3'$). В общем случае существует переход $2 \rightarrow 3$, для которого согласно [3]

$$\left(\frac{dO_2}{dt}\right)_{2 \rightarrow 3} = A \left(\frac{dO_2}{dt}\right)_{2 \rightarrow 3'},$$

где A зависит от пути $2 \rightarrow 3$. Следовательно, $E_{\text{эфф}}$ не зависит от перехода. Считая, что осуществляется переход $2 \rightarrow 3'$ получим для метанол-воздушных смесей $E_{\text{эфф}} \sim 21—22 \text{ ккал/моль}$ (см. рис. 4). В отличие от водород-воздушных смесей $E_{\text{эфф}}$ для смесей метанол — воздух в исследованном диапазоне температур не зависит от T_0 ($T_0 = 235—360^\circ$).

Таким образом, получены области распространения пламени при различных значениях температуры для смесей $H_2—O_2—N_2$ и $CH_3OH—O_2—N_2$, а также сделаны оценки параметров W и $E_{\text{эфф}}$, характеризующих реакцию низкотемпературного окисления H_2 и CH_3OH воздухом.

Поступила в редакцию
24/X 1971

ЛИТЕРАТУРА

1. В. Н. Кондратьев. Кинетика химических газовых реакций. М., Изд-во АН СССР, 1958.
2. G. L. Duggere, R. C. Weast, S. Heimel, 5-th Symposium on Combustion. New-York, 1955.
3. В. А. Бунев. ФГВ, 1972, 8, 1.
4. В. А. Бунев, Р. С. Тюльпанов. ФГВ, 1966, 2, 4.
5. А. Эджертон. IV Симпозиум по вопросам горения и детонационных волн, 1958.
6. В. В. Вородский. Физика и химия элементарных химических процессов. М., «Наука», 1963.